

다관원통형 열교환기의 파울링 현상을 고려한 관막음 여유 평가법 개발 연구

황 경 모[†] · 진 태 은*

(2004년 5월 7일 접수, 2004년 8월 25일 심사완료)

A Study on the Development of Plugging Margin Evaluation Method Reflected the Fouling of a Shell-and-Tube Heat Exchanger

Kyeong Mo Hwang and Tae Eun Jin

Key Words: Fouling Factor(오염계수), Component Cooling Water Heat Exchanger(기기냉각수 열교환기), Plugging(관막음), Plugging Margin(관막음 여유)

Abstract

As operating time of heat exchangers progresses, fouling generated by water-borne deposits and the number of plugged tubes increase and thermal performance decreases. Both fouling and tube plugging are known to interfere with normal flow characteristics and to reduce thermal efficiencies of heat exchangers. The heat exchangers of domestic nuclear power plants have been analyzed in terms of the heat flux and heat transfer coefficient at test conditions as a means of heat exchanger management. Except for the fouling level generated in operation of heat exchangers, also, all of the tubes of heat exchangers have been replaced when the number of plugged tubes exceeds the plugging criteria based on design performance sheet. This paper describes the plugging margin evaluation method reflected the fouling of shell-and-tube heat exchangers, which can evaluate the thermal performance for heat exchangers, estimate the future fouling variations, and reflect the current fouling level. To identify the effectiveness of the developed method, the fouling and plugging margin evaluations were performed for a component cooling heat exchanger in a nuclear power plant.

1. 서 론

열교환기의 고유기능은 온도가 다른 두 유체를 분리된 상태에서 열교환하여 계통특성에 맞도록 유체온도를 저하 또는 상승시키는 것이다. 원자력 발전소에서는 원자로 안전정지, 열효율 증가, 주요 건물 내부의 적정온도 유지, 최종 열제거, 저온수 주입에 따른 열응력 최소화 등 여러 목적에 맞게 다양한 열교환기가 사용되고 있다. 이러한 열교환기 대부분은 가동년수 증가에 따라 오염이 증가하고 감육(Wall Thinning), 균열, 누설

등으로 인한 관막음 개수가 증가한다. 기존 발전소에서는 열교환기 관리방안으로 ASME OM-S/G-Part 2⁽¹⁾에 따라 평가시점에서 열전달량과 열전달계수 측면에서만 분석해 왔다. 이러한 경우 발전소 특성상 수년에 한 번씩 실시하는 평가시점에서의 상태만 파악할 수 있을 뿐 오염과 성능변화 추이를 파악하기 어렵고 청소, 정비, 교체 등의 효율적인 열교환기 관리계획 수립이 용이하지도 않다. 또한 오염진행 정도에 따라 열전달 성능유지를 위한 전열판 관막음 여유도 줄어들게 되는데, 이를 효과적으로 반영하여 열교환기의 상태를 분석할 수 있는 방법이 미흡한 실정이다.

이에 따라 본 연구에서는 발전소에서 보다 현실적으로 열교환기를 관리할 수 있는 방안으로서 열전달 성능, 열전달계수 외에 오염진행 추이를 분석할 수 있고 평가시점의 오염정도를 반영할

* 책임저자, 회원, 한국전력기술(주) 재료기술연구그룹
E-mail : hkm@kopec.co.kr

TEL : (031)289-4287 FAX : (031)289-3189

* 회원, 한국전력기술(주) 재료기술연구그룹

수 있는 관막음 여유(Plugging Margin) 평가법을 개발하였다. 대상은 원자력 발전소에서 가장 일반적으로 적용되고 있는 다관원통형 열교환기이다. 그리고 개발한 관막음 여유 평가법을 가동중인 원전의 기기냉각수 열교환기에 적용하여 효용성을 분석하였다.

2. 평가이론 및 방법

2.1 파울링 평가법

운전중인 열교환기의 파울링 현상을 고려한 관막음 여유를 평가하기 위해서는 먼저 열교환기의 오염정도를 예측할 수 있는 파울링 평가를 수행해야 한다. 열교환기에서 일반적으로 발생하는 파울링은 물속에 부유하는 다공성 불용물질 즉, 공기에서 발생한 입자, 부식 생성물, 유기물질과 미생물, 경수에 포함된 칼슘 침전물, 반응도 조절을 위해 사용되는 봉소 침전물 등으로 인해 발생한다.⁽²⁾ 이러한 파울링 현상은 열교환기에서 유체의 정상적인 흐름을 방해하고 압력손실, 부식 발생원 등으로 작용하며, 특히 열교환기의 열성능을 저하시킨다. 본 연구에서 제시하는 열교환기 파울링 평가법은 코일형 열교환기를 제외하고 열전달 과정 중에 상변화가 발생하지 않는 모든 열교환기에 적용이 가능하다. 파울링 평가에 필요한 기본 데이터는 다음과 같다.

- T_1, T_2 : 공정수 입구 및 출구온도, °C
- t_1, t_2 : 냉각수 입구 및 출구온도, °C
- W_p, W_c : 공정수 및 냉각수 유량, kg/sec
- C_{Pp}, C_{Pc} : 공정수 및 냉각수 비열, J/kg·°C

상기 데이터 취득이 완료되면 공정수 및 냉각수의 열전달량(heat duty)은 식 (1)과 (2)로부터 계산이 가능하다.

$$Q_p = W_p [C_{Pp}(T_1 - T_2)] \quad (1)$$

$$Q_c = W_c [C_{Pc}(t_2 - t_1)] \quad (2)$$

여기서, Q_p 와 Q_c 는 공정수 및 냉각수 열전달량을 나타낸다.

공정수와 냉각수의 열전달량이 계산되면 열교환기의 냉각방식에 따라 병류(parallel flow)일 경우에는 식 (3)을 사용하고 대향류(counter flow)일 경우에는 식 (4)를 사용하여 대수평균 온도차(LMTD : logarithmic mean temperature difference)

를 계산한다.

$$LMTD = \frac{(T_1 - t_1) - (T_2 - t_2)}{\ln \left[\frac{T_1 - t_1}{T_2 - t_2} \right]} \quad (3)$$

$$LMTD = \frac{(T_1 - t_2) - (T_2 - t_1)}{\ln \left[\frac{T_1 - t_2}{T_2 - t_1} \right]} \quad (4)$$

상기 두 식으로 계산된 대수평균 온도차는 다중 동체 또는 다중 전열판의 경우(예, 1-2, 2-4 pass 열교환기)에 대향류 조건에서 벗어나는 편차를 고려하기 위하여 식 (5)를 이용하여 보정한다.

$$MTD = LMTD \cdot F \quad (5)$$

여기서, MTD(mean temperature difference)는 보정된 평균 온도차(°C)를 나타내고, F는 대수평균 온도차 보정계수를 나타낸다. 보정계수는 분리유동, 교차유동 등일 경우에 대향류로부터 벗어나는 정도를 보정하는데 적용되며, 대향류와 병류일 경우에는 1이다. 이외의 경우에는 식 (6)과 같이 Bowman 식⁽³⁾을 이용하여 대수평균 온도차 보정계수를 구할 수 있다.

$$F = \frac{B}{R-1} \cdot \frac{\ln \left(\frac{1-X}{1-RX} \right)}{\ln \frac{2-X(R+1-B)}{2-X(R+1+B)}} \quad (6)$$

여기서, B, X, R 및 P는 각각 식 (7), (8), (9), (10)과 같다.

$$B = \sqrt{1 + R^2} \quad (7)$$

$$X = \frac{1 - \left(\frac{1-RP}{1-P} \right)^{1/n}}{R - \left(\frac{1-RP}{1-P} \right)^{1/n}} \quad (8)$$

$$R = \frac{T_1 - T_2}{t_2 - t_1} \quad (9)$$

$$P = \frac{t_2 - t_1}{T_1 - t_1} \quad (10)$$

식 (8)에서 n은 동체족의 유로수를 나타낸다. 보정된 평균 온도차와 열전달량을 이용한 총괄열전달계수는 식 (11)로 계산할 수 있다.

$$U = \frac{Q}{A_o MTD} \quad (11)$$

여기서, U는 외부표면 기준 총괄열전달계수(W/m²·°C)를 나타내고 A_o 는 외부표면 기준 외부유효표면적(m²)을 나타낸다. 전열판에 냉각핀이 설치되거나 관막음(plugging)되었을 경우에는 해당 전열면적을 계산에 반영하여야 한다.

열교환기의 유형이 분리유동(divided flow, split flow 등), 교차유동(cross flow) 등일 경우에는 식 (12)와 같이 무차원 전달단위수(NTU : number of transfer units) 방식을 사용하여 총괄열전달계수를 계산한다.

$$U = \frac{NTU \cdot W_c C_{Pc}}{A_o} \quad (12)$$

여기서, NTU는 식 (9)와 식 (10)에 제시된 R 과 P 의 함수로서 $R=0$ 이거나 $R=\infty$ 인 경우에는 식 (13)을 사용하고 $R\neq 0$ 이거나 $R\neq\infty$ 인 경우에는 식 (14)를 사용하여 계산한다.

$$NTU = \ln\left(\frac{1}{1-P}\right) \quad (13)$$

$$NTU = \frac{1}{\sqrt{R^2+1}} \cdot \ln\left(\frac{2-P(R+1-\sqrt{R^2+1})}{2-P(R+1+\sqrt{R^2+1})}\right) \quad (14)$$

총괄열전달계수가 결정되면 열교환기의 오염 정도를 판단할 수 있도록 오염계수(r)를 도입한다. 오염계수는 총괄열전달계수 계산 식 (15)로부터 계산이 가능하다.

$$U = \frac{1}{r_t + \frac{1}{h_o} \frac{1}{E_f} + r_w + \frac{1}{h_i} \frac{A_o}{A_i}} \quad (15)$$

여기서, h_o 와 h_i 는 각각 외부표면 기준 외부 열전달계수($W/m^2 \cdot ^\circ C$)와 내부표면 기준 내부 열전달계수를 나타낸다. r_t , r_o , r_i , r_w 는 각각 외부표면 기준 전체 오염저항($m^2 \cdot ^\circ C/W$), 외부표면 기준 외부 오염저항, 내부표면 기준 내부 오염저항 및 외부표면 기준 관벽저항을 나타낸다. 그리고 A_i 는 내부표면 기준 내부 유효표면적(m^2), E_f 는 가중 편효율(편이 없을 경우 1, 편이 있는 경우 1 이하)을 나타낸다. 외부표면 기준 외부 오염저항은 식 (16)을 이용하여 구할 수 있다.

$$r_t = r_o \frac{1}{E_f} + r_i \frac{A_o}{A_i} \quad (16)$$

내부표면 기준 내부 열전달계수는 난류유동($Re > 10,000$)인 경우에는 식 (17)로 계산하고 층류유동($Re < 2,100$)인 경우에는 식 (18)을 이용하여 계산한다.⁽⁴⁾ $2,100 < Re < 10,000$ 인 경우에는 식 (19)를 이용하여 계산한다.⁽⁴⁾

$$h_i = 0.023 \frac{k_t}{d_i} Re^{0.8} Pr^{1/3} \left(\frac{\mu_{bt}}{\mu_{wt}} \right)^{0.14} \quad (17)$$

$$h_i = 1.86 \frac{k_t}{d_i} Re^{1/3} Pr^{1/3} \left(\frac{d_i}{L} \right)^{1/3} \left(\frac{\mu_{bt}}{\mu_{wt}} \right)^{0.14} \quad (18)$$

$$h_i = 0.116 \frac{k_t}{d_i} (Re^{2/3} - 125) Pr^{1/3} \left[1 + \left(\frac{d_i}{L} \right)^{2/3} \right] \left(\frac{\mu_{bt}}{\mu_{wt}} \right)^{0.14} \quad (19)$$

여기서, k_t 는 전열판측 유체의 열전도도($W/m \cdot ^\circ C$), d_i 는 전열판 내경(m), μ_{bt} 는 전열판측 유체의 절대 점도(Pa-sec), μ_{wt} 는 전열판벽 온도에서 전열판측 유체의 절대 점도(Pa-sec), L 은 전열판 길이(m), ρ_t 는 전열판측 유체의 밀도(kg/m^3), V 는 유량과 교차유동 단면적에 근거한 전열판 내 유속(m/sec)을 나타낸다. 그리고 전열판측 유체의 무차원 Re 수와 Pr 수는 식 (20)과 식 (21)로부터 구할 수 있다.

$$Re = \frac{\rho_t V d_i}{\mu_{bt}} \quad (20)$$

$$Pr = \frac{C_{Pt} \mu_{bt}}{k_t} \quad (21)$$

외부표면 기준 외부 열전달계수(h_o)는 식 (22)를 이용하여 계산한다.⁽⁴⁾

$$h_o = h_k J_c J_l J_b J_r \quad (22)$$

여기서, h_k , J_c , J_l , J_b , J_r 은 각각 동체측 열전달계수, 배플형상 보정계수, 배플누설 보정계수, 전열판 다발 우회효과 보정계수 및 역온도구배 누적(adverse temperature-gradient buildup) 보정계수를 나타낸다.

식 (22)를 이용하여 외부 열전달계수를 계산하기 위해서는 우선 동체측으로 흐르는 유체의 Re 수를 계산해야 한다. 동체측으로 흐르는 유체의 Re 수는 식 (23)을 이용하여 계산한다.

$$Re_s = \frac{d_o W_s}{\mu_{bs} S_m} \quad (23)$$

여기서, W_s 는 동체측 유량(kg/sec), μ_{bs} 는 동체측 유체 벌크온도에서의 점도(Pa-sec), S_m 은 교차유동 영역 중심부에서의 단면적을 나타낸다. 전열판 배열이 사각구조 및 삼각구조인 경우의 S_m 은 각각 식 (24)와 식 (25)를 이용하여 계산할 수 있다.

$$S_m = l_s \left[D_s - D_{out} + \frac{D_{out} - d_o}{p_n} (p' - d_o) \right] \quad (24)$$

$$S_m = l_s \left[D_s - D_{out} + \frac{D_{out} - d_o}{p'} (p' - d_o) \right] \quad (25)$$

여기서, l_s 는 배플 사이의 거리(m), D_s 는 동체 내경(m), D_{out} 은 전열판 다발 외경(m), d_o 는 전열판 외경(m), p_n 은 유체 흐름방향에 수직인 전열판 퍼치(m) 그리고 p' 는 전열판 중심간 거리(m)를 나타낸다. 식 (23)에서 계산된 Re 수로부터 전열판 배열 보정계수(J_k)는 관련 핸드북⁽⁴⁾에서 확인할 수 있다.

전열관 배열 보정계수가 결정되면 식 (26)을 사용하여 동체측의 열전달계수를 계산한다.

$$h_k = j_k C_{Ps} \frac{W}{S_m} \left(\frac{k_s}{C_{Ps} \mu_{bs}} \right)^{2/3} \left(\frac{\mu_{bs}}{\mu_{ws}} \right)^{0.14} \quad (26)$$

여기서, C_{Ps} 는 동체측 유체의 비열($J/kg \cdot ^\circ C$), μ_{ws} 는 전열관벽 온도에서 동체측 유체의 절대점도($Pa \cdot sec$)를 나타낸다.

배플형상에 대한 보정계수(J_c)를 구하기 위해서는 교차유로에서 전체 전열관의 비율이 계산되어야 한다. 이는 식 (27)을 이용하여 계산할 수 있다.

$$F_c = \frac{1}{\pi} \left[\pi + 2 \frac{D_s - 2l_c}{D_{otl}} \sin \left(\cos^{-1} \frac{D_s - 2l_c}{D_{otl}} \right) - 2 \cos^{-1} \frac{D_s - 2l_c}{D_{otl}} \right] \quad (27)$$

여기서, l_c 는 배플컷(m)을 나타낸다.

배플 누설효과에 대한 보정계수(J_b)를 구하기 위해서는 1개 배플에 대한 전열관-배플 사이의 누설면적(S_{tb}), 1개 배플에 대한 동체-배플 사이의 누설면적(S_{sb}), 전열관 배열에 대한 보정계수(S_m)를 알아야 한다. S_{tb} 는 식 (28)로 계산할 수 있으며, S_{sb} 는 식 (29), S_m 은 식 (24) 또는 식 (25)로 계산할 수 있다.

$$S_{tb} = b D_o N_T (1 + F_c) \quad (28)$$

$$S_{sb} = \frac{D_s \delta_{sb}}{2} \left[\pi - \cos^{-1} \left(1 - \frac{2l_c}{D_s} \right) \right] \quad (29)$$

여기서, $\cos^{-1}(1-2l_c/D_s)$ 은 $0 \sim \pi/2$ 사이의 라디안을 나타내고 δ_{sb} 는 동체-배플 사이의 틈(clearance)으로서 동체의 직경이 $0.61m(24in)$ 이상인 경우에는 rolled-shell 사양을 사용해야 한다. b 는 상수로서 SI 단위인 경우에는 6.223×10^{-4} 이고 British 단위인 경우에는 1.701×10^{-4} 이다. 그리고 N_T 는 전체 전열관수를 나타내며, F_c 는 식 (27)을 사용하여 구할 수 있다. 전열관 다발 우회(bundle-bypassing) 효과에 대한 보정계수(J_b)를 구하기 위해서는 밀봉 스트립(sealing strips)의 개수(N_{ss})와 교차유동 영역 내의 전열관 개수(N_C)를 알아야 한다. 그리고 우회흐름에 대한 교차유동 단면적 분율, F_{bp} 는 식 (30)으로 계산이 가능하다.

$$F_{bp} = \frac{(D_s - D_{otl}) l_s}{S_m} \quad (30)$$

한편, Re 수가 작을 경우에는 역온도구배 누적에 대한 보정계수(J_r)를 적용해야 하지만 대부분의 동체-전열관형 열교환기에는 Re 수가 10,000 이상인 난류 유동이므로 본 보정계수는 적용되지

않는다.

r_w 는 외부표면 기준 관벽저항으로서 식 (31)로 계산이 가능하다.⁽⁵⁾

$$r_w = \frac{d_o}{2k} \ln \left(\frac{d_o}{d_o - 2t} \right) \quad (31)$$

이와 같이 모든 변수에 대한 계산이 완료되면 식 (32)로부터 전열관 내부 및 외부의 오염저항이 모두 고려된 전체 오염계수를 계산할 수 있다.

$$r_t = \frac{1}{U} - \frac{1}{h_o} \frac{1}{E_f} - r_w - \frac{1}{h_i} \frac{A_o}{A_i} \quad (32)$$

이러한 오염계수는 열교환기의 전열성능을 저하시키는 정도를 나타내기 때문에 운전년수 증가에 따라 증가할 것으로 예상되며, 주기적으로 관찰할 경우 열교환기의 성능변화도 예측할 수 있다.

2.2 관막음 여유 평가법

열교환기 관막음 여유를 계산하기 위해서는 열교환기 계통 설계에 반영된 여유도와 제작시 반영된 여유도를 계산해야 한다. 관막음 여유도(a)는 아래 식 (33)과 같이 계통설계 여유도(a_s)와 제작 여유도(a_m)를 더한 값이다.⁽⁶⁾

$$\alpha = \alpha_s + \alpha_m \quad (33)$$

열교환기의 계통설계 여유도를 계산하기 위해서는 설계시 반영한 과도상태를 확인해야 한다. 일반적으로 제순환계통 열교환기 설계에 반영되는 운전조건으로는 Plant Startup, Normal Operation, Shutdown, Refueling, Recirculation, Safety Injection 등이 있다. 이를 중 설계조건을 결정할 때 사용된 설계 운전조건 때의 (UA_o)_s를 실제 설계에 반영된 (UA_o)_d와 비교함으로써 식 (34)와 같이 계통설계 여유율을 구할 수 있다.

$$\alpha_s = 100 \times \left(\frac{(UA_o)_d}{(UA_o)_s} - 1 \right) \quad (34)$$

여기서, (UA_o)_s와 (UA_o)_d는 모두 식 (11)로부터 구할 수 있다.

열교환기 제작 여유도는 식 (35)와 같이 실제 열교환기 제작시의 전열면적($A_{o,m}$)을 필요 전열면적($A_{o,r}$)과 비교함으로써 구할 수 있다.

$$\alpha_m = 100 \times \left(\frac{A_{o,m}}{A_{o,r}} - 1 \right) \quad (35)$$

이 때 평가시점까지의 오염된 정도를 반영하기 위해서는 식 (32)에서 구한 평가시점의 오염계수를 적용하면 된다. 일반적으로 열교환기 제작시의 전열면적은 기기시방서에 제시되어 있으며,

필요 전열면적은 식 (36)을 이용하여 구할 수 있다.

$$A_{o,r} = \frac{Q}{U \cdot MTD} \quad (36)$$

필요 전열면적은 2.1의 식 (5), (11), (15), (16), (17), (22)를 이용할 수 있다.

3. 파울링 현상을 고려한 관막음 여유 평가법 적용

본 연구에서 개발한 다관원통형 열교환기의 파울링 평가법과 관막음 여유 평가법을 이용하여 실제 원전에 사용되고 있는 기기냉각수 열교환기의 오염도와 관막음 여유를 평가하였다. 평가대상으로 선정한 기기냉각수 열교환기는 동체측으로 기기냉각수가 1회에 걸쳐 통과하고 전열판측으로 해수가 1회에 걸쳐 통과하는 1-1 pass 대향류 열교환기로서 2000년 8월 시점에서 115개의 전열판이 관막음 된 상태였다. Fig. 1은 원전에 설치되어 있는 기기냉각수 열교환기 관련 계통도를 데이터 취득에 필요한 게이지와 함께 나타내었다.

Table 1은 파울링 및 관막음 여유 평가를 위한 실측 데이터로서 설계 데이터와 과거 3회에 걸쳐 취득한 평균 데이터이다. Table 2와 Fig. 2는 과거 3회의 실측 데이터를 이용하여 파울링 평가를 수행한 결과를 제시한 것이다.

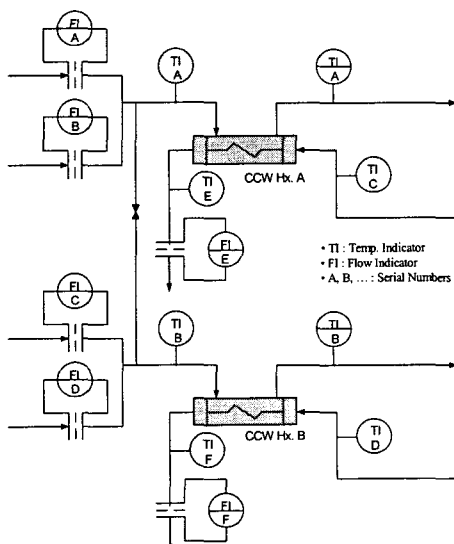


Fig. 1 Flow diagram for CCW Hx

Table 1 Input data for evaluation

years	Process Fluid			Cooling Fluid		
	Inlet Temp.	Outlet Temp.	Flow Rate	Inlet Temp.	Outlet Temp.	Flow Rate
	°C	°C	kg/hr	°C	°C	kg/hr
Design	41.00	35.00	2.95×10^6	28.00	33.39	3.49×10^6
1996. 1	18.11	16.00	2.68×10^6	14.78	16.17	3.95×10^6
1996. 7	17.89	16.00	2.54×10^6	14.39	16.22	3.95×10^6
2000. 8	25.78	22.50	2.59×10^6	19.72	21.72	4.13×10^6

Table 2 Fouling evaluation results

Items	Units	Criteria	1996.1	1996.7	2000.8
r_t	$m^2\text{°C}/W$	$\leq 5.2 \times 10^{-4}$	1.9×10^{-4}	3.4×10^{-4}	4.1×10^{-4}
U	$W/m^2\text{°C}$	$\geq 1,287$	1,971	1,496	1,423
U^*	-	≥ 0.9	1.36	1.03	0.94

[주] U^* : Specific Performance Capability (UA/U_0A_0)

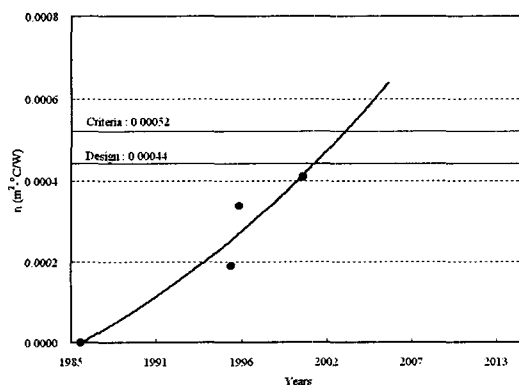


Fig. 2 Fouling evaluation results

Table 3 Plugging margin evaluation results

Items	Units	Values	
Total number of tubes	-	2,100	
Heat flux at design	$MW/\text{m}^2\text{°C}$	20.51	
Heat flux at plant startup	$MW/\text{m}^2\text{°C}$	20.50	
Design Margin	(UA) _d	$MW/\text{m}^2\text{°C}$	2.809
	(UA) _s	$MW/\text{m}^2\text{°C}$	2.808
	a_s	%	0.2①
Manufacture Margin	A_m	m^2	2,014
	A_r Manufacture	m^2	1,869
	A_r 2000 yr	m^2	1,917
	a_m Manufacture	%	7.77
	a_m 2000 yr	%	5.05②
	$a_s(①)+a_m(②)$	%	5.25
Plugging Margin of Tubes	Number	110	

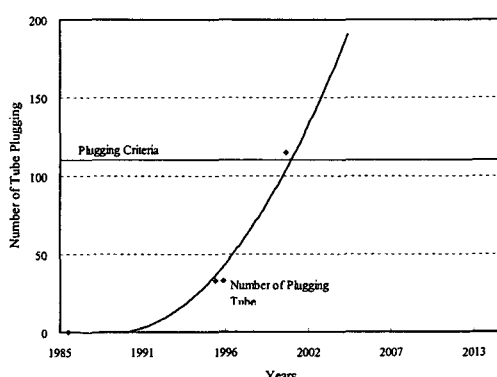


Fig. 3 Plugging margin evaluation results

Table 2에서 볼 수 있듯이 총괄열전달계수와 Specific Performance Capability(U^*)는 평가 최종시점에서 허용기준을 만족하고 있으나 점차 저하되고 있는 것을 알 수 있다. 또한 오염계수도 평가 최종시점에서 허용기준을 만족하고 있으나 Fig. 2에서 볼 수 있듯이 지수함수적으로 증가하고 있는 것을 알 수 있다. 현재의 추이대로 증가할 경우, 2003년 말경에는 허용기준치를 초과할 것으로 예상된다.

Table 3과 Fig. 3은 평가시점의 오염정도가 반영된 관막음 여유를 평가한 결과이다. 2000년 시점에서 기기냉각수 열교환기의 계통설계 여유도와 오염정도를 반영한 제작 여유도를 합한 전열면적 여유도는 5.25%이며 이에 따른 관막음 가능 개수는 110개인 것으로 평가되었다. 이와 같이 2,100개의 전열판 중 설계당시의 관막음 가능 개수는 167개였으나 본 논문에 적용한 방법으로는 110개까지 관막음이 가능한 것으로 판명되어 정확도 향상 및 운전 위험성을 사전에 예방할 수 있을 것으로 판단된다. Fig. 3에서 볼 수 있듯이 2000년 시점에서의 전열판 관막음 개수가 115개이기 때문에 본 평가에서는 관막음 허용기준인 110개를 초과한 것으로 나타났다.

4. 결 론

기존 국내 원자력 발전소에 사용되고 있는 열교환기는 운전수명 한계로서 전열판 관막음 여유를 주요 인자로 활용하고 있다. 그렇지만 기준에 적용하고 있는 관막음 여유도 계산에는 열교환기 운전시 필연적으로 발생하는 오염정도를 배제한

채 설계 당시에 고려한 계통설계 여유와 제작 여유만을 고려하여 관막음 기준을 결정해 왔다. 이에 따라 본 연구에서는 원전에 일반적으로 사용되고 있는 다관원통형 열교환기의 성능과 오염진행 추이 및 관막음 한계를 현실적으로 분석하기 위하여 파울링 현상을 고려된 관막음 여유 평가법을 개발하였다.

다관원통형 열교환기의 파울링 현상을 고려한 관막음 여유 평가법 개발에는 운전중인 열교환기의 오염정도를 먼저 계산하고 제작 여유도 계산에 오염정도를 반영하는 방식을 적용하였다. 파울링 현상을 고려한 관막음 여유 평가법의 적용 가능성 분석을 위하여 국내 원전에 적용되고 있는 한 개의 기기냉각수 열교환기를 대상으로 평가를 수행하였다. 평가결과, 기기냉각수 열교환기는 점차 오염이 증가하고 관막음 여유도 이미 한계에 도달한 것으로 평가되었다.

이와 같이 본 연구에서 개발한 관막음 여유 평가법으로는 열교환기 성능과 오염진행 추이를 분석할 수 있으며, 평가시점까지 오염된 정도가 반영된 전열판 관막음 한계를 파악할 수 있다. 이러한 평가방법을 실제 열교환기에 활용할 경우에는 열교환기의 계속사용 가능성과 세정, 교체시점 등을 보다 현실적으로 분석할 수 있을 것으로 판단된다.

참고문헌

- (1) ASME, 1994, "Standards and Guides for Operation and Maintenance of Nuclear Power Plants," *ASME OM-S/G-Part 2*, pp. 5~8.
- (2) Conklin, J. E., 1995, "Aging Management Evaluation for Heat Exchangers," *WCAP-14341*, Westinghouse Owner's Group.
- (3) Norris, S. H. and Robert, J. E., 1991, "Heat Exchanger Performance Monitoring Guidelines," *EPRI NP-7552*, pp. C22~C23.
- (4) Perry, R. H., *Chemical Engineer's Handbook*, Sixth Edition, *McGraw Hill*, pp. 10.24~10.31.
- (5) Richard, C. B., 1988, "Standards of the Tubular Exchanger Manufacturers Association," *TEMA*, 7th Edition, pp. 101~104.
- (6) KOPEC, 2003, "Plugging Margin Evaluation for Component Cooling Heat Exchanger," 02-70, Rev.0.